

Fig. 6a



Fig. 6b

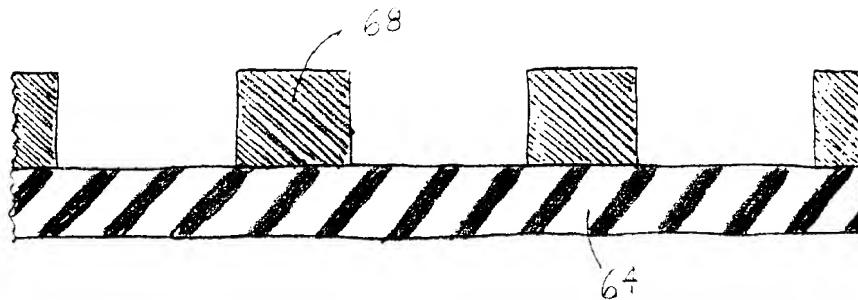


Fig. 6c

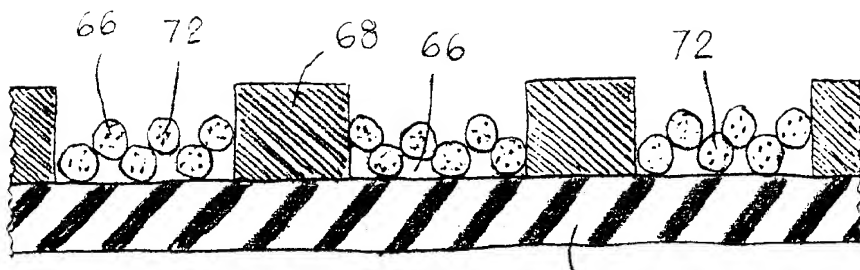


Fig. 6d

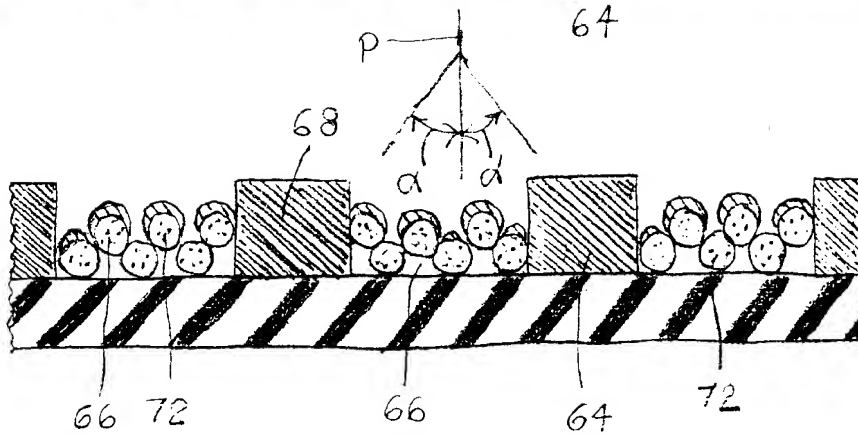
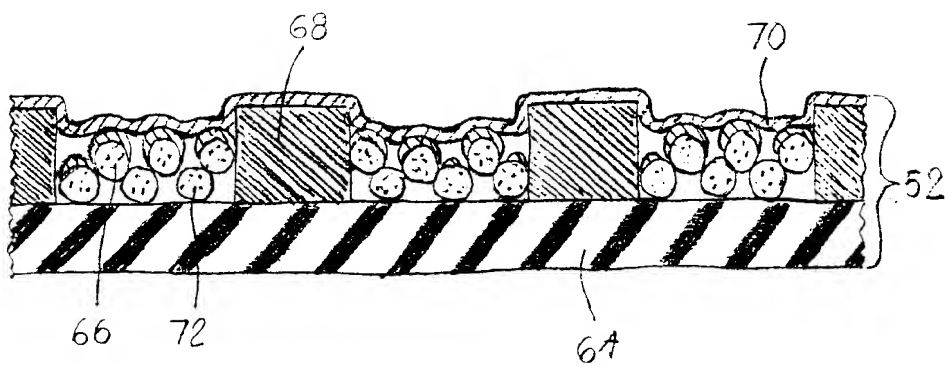
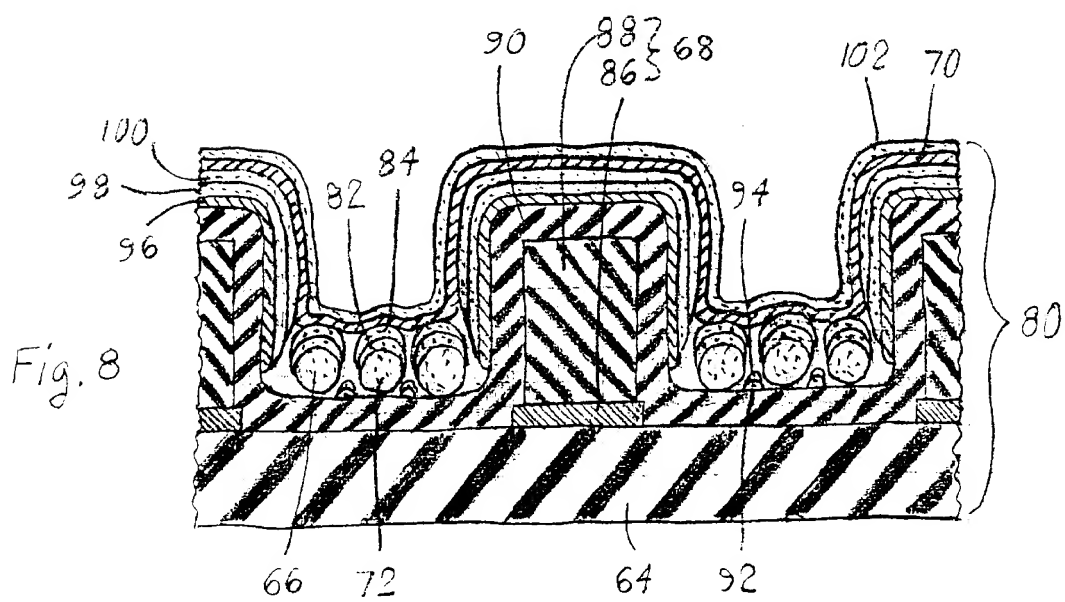
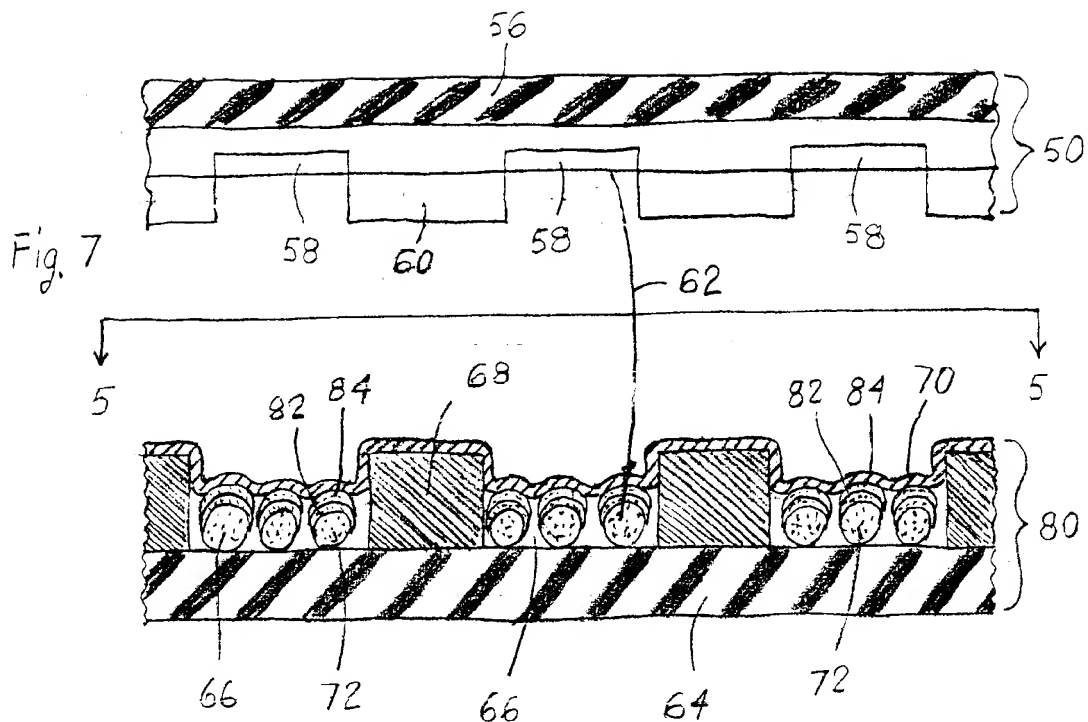
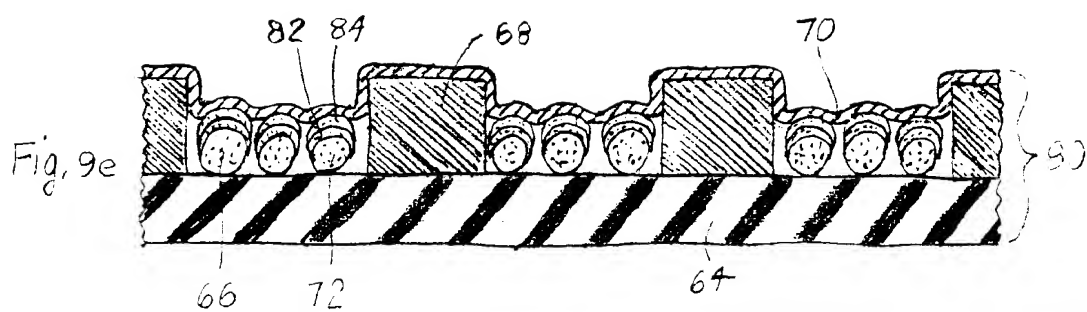
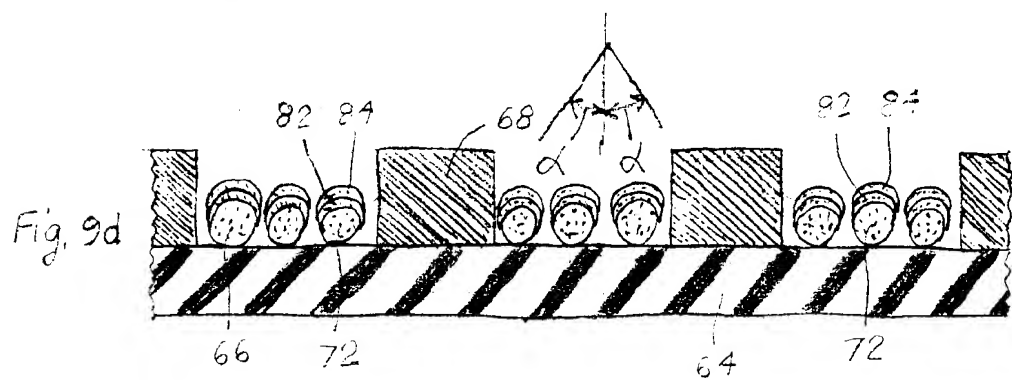
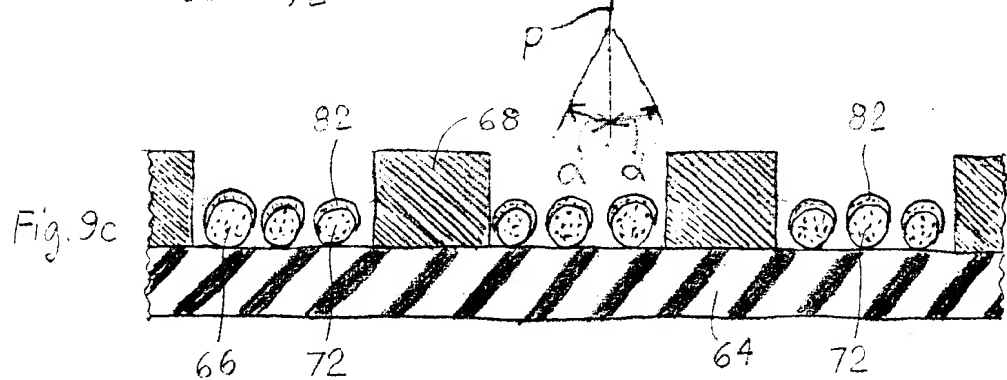
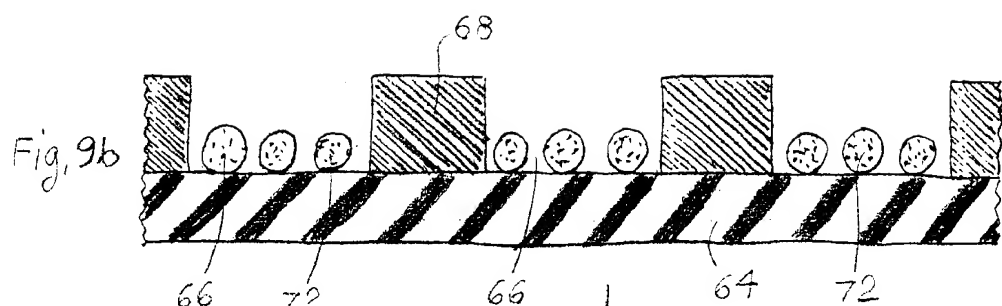
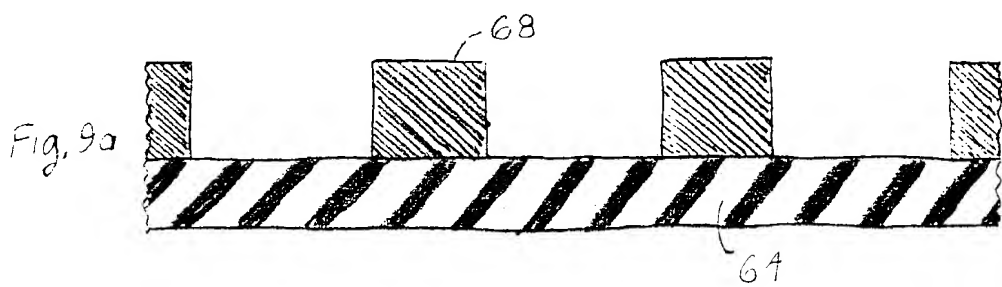


Fig. 6e







6/14

CT-F139

Fig. 10a



Fig. 10b

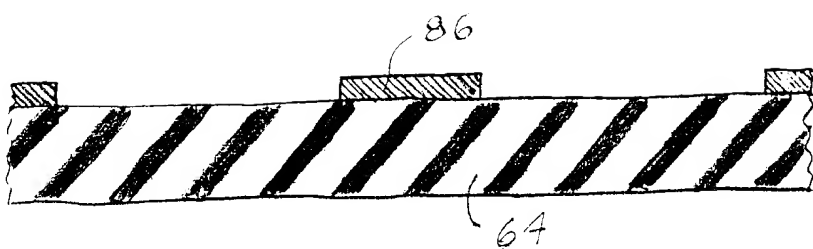


Fig. 10c

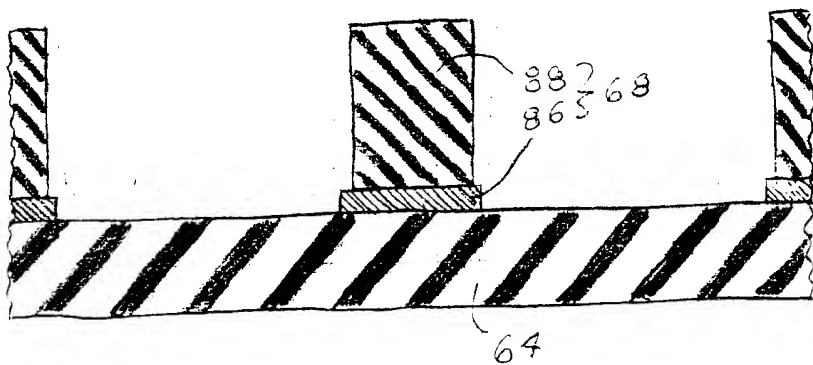
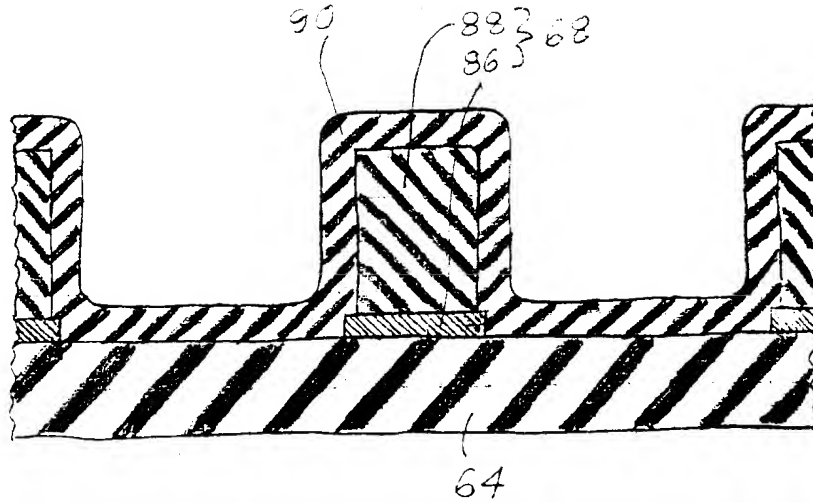


Fig. 10d



7/14

CT-F139

Fig. 10e

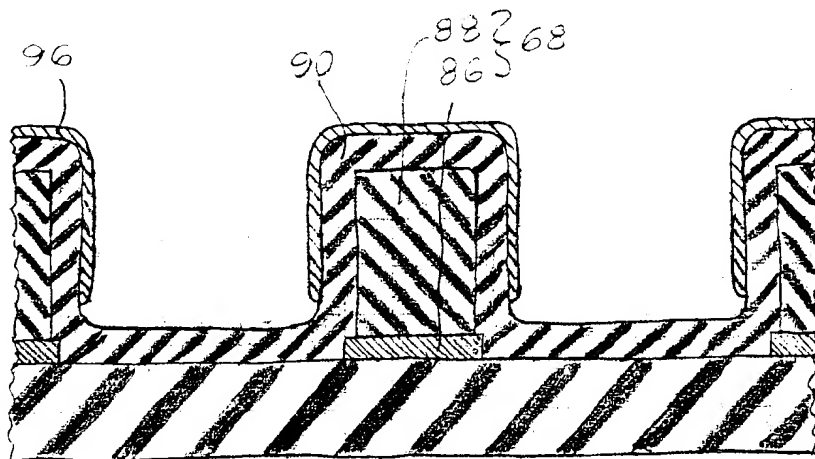


Fig. 10f

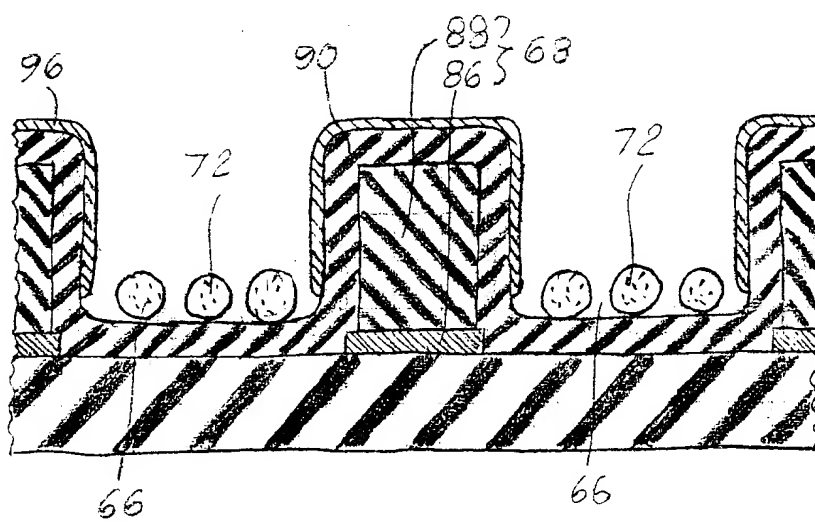
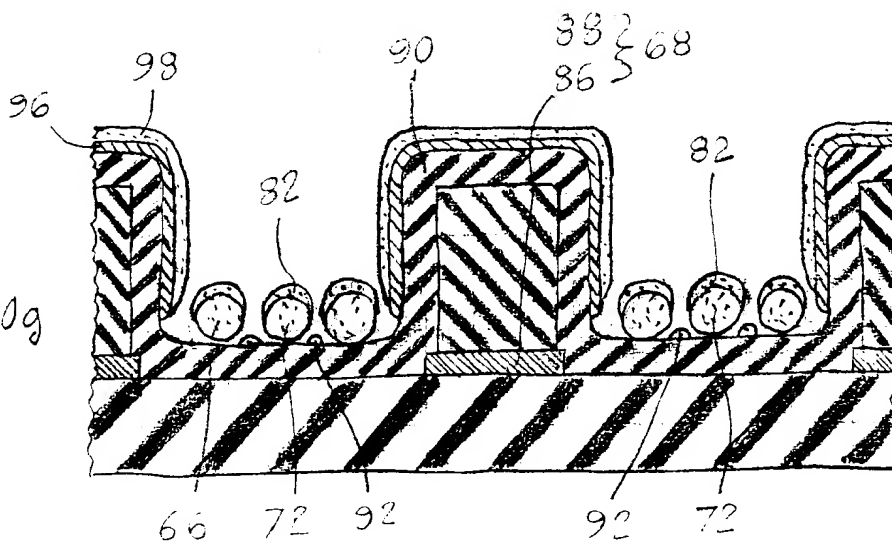


Fig. 10g



8/14

CT-F139

Fig. 10h

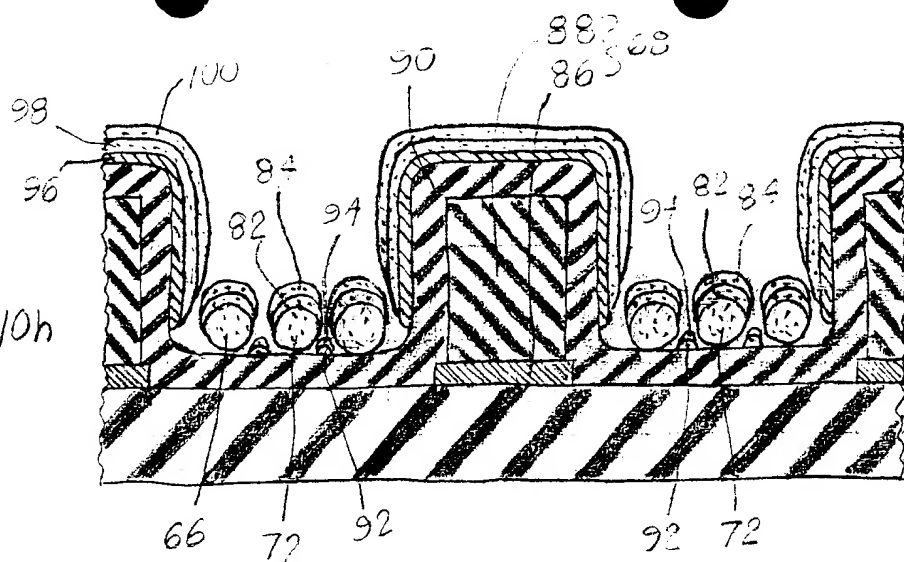


Fig. 10i

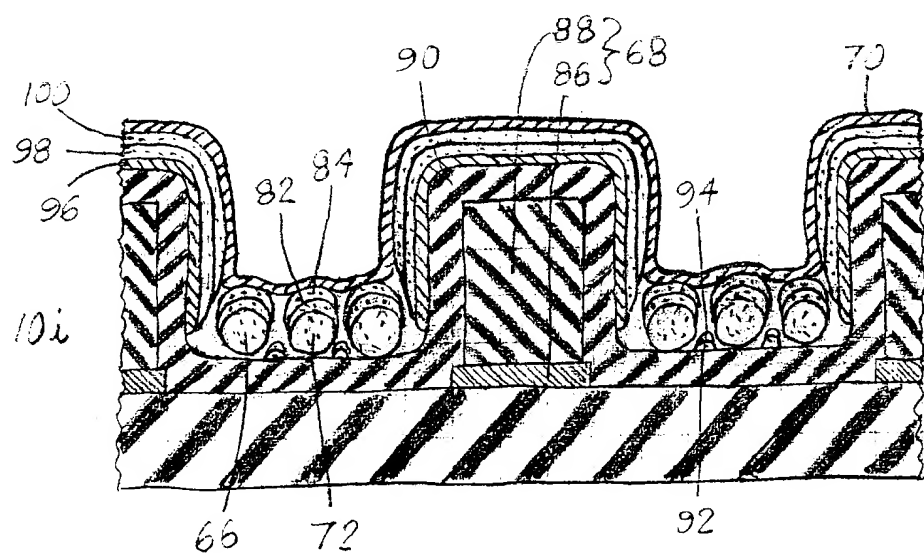
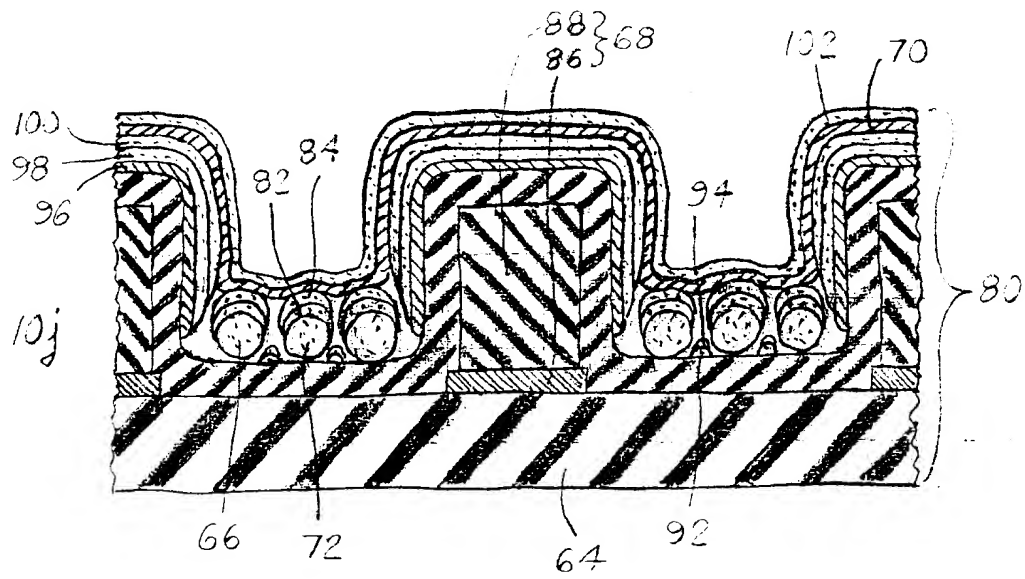
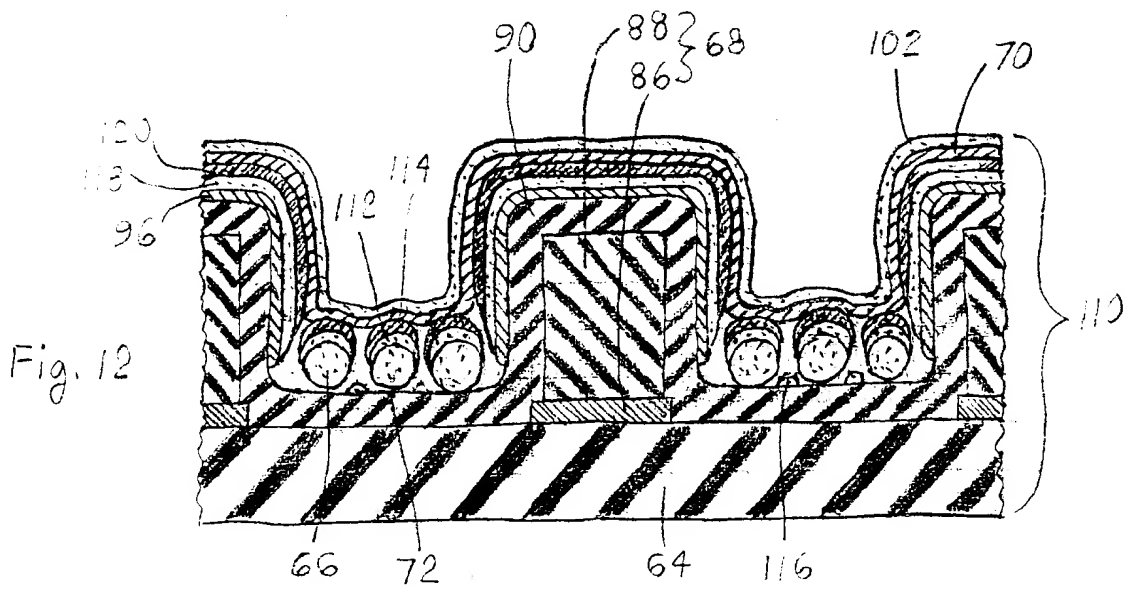
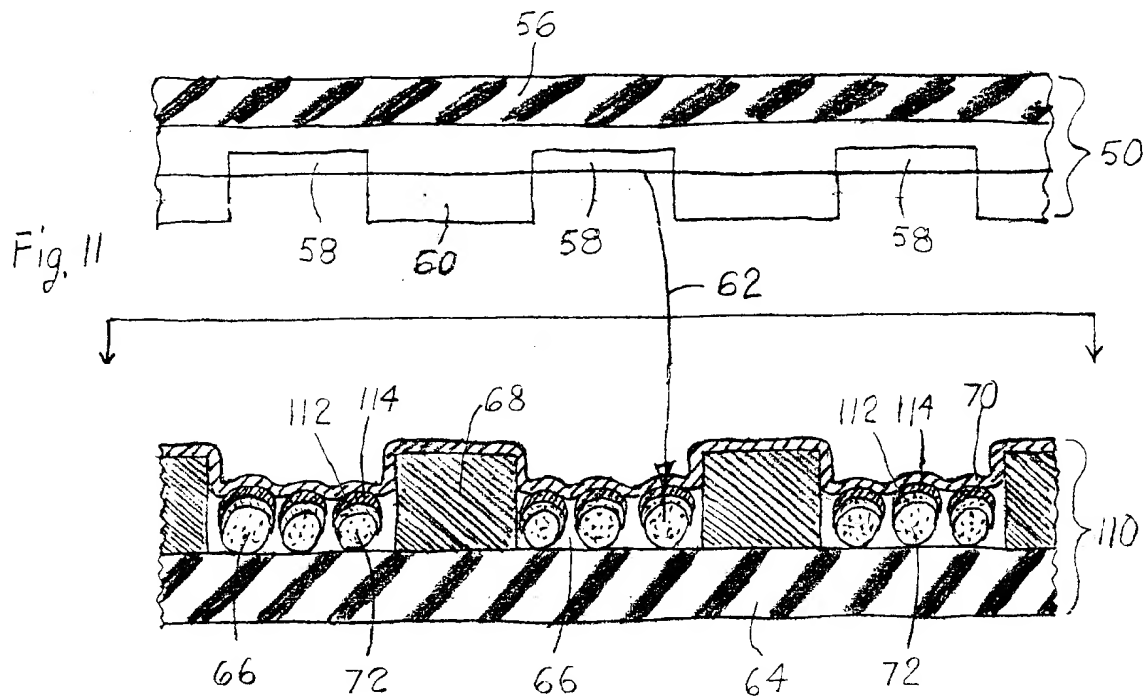


Fig. 10j



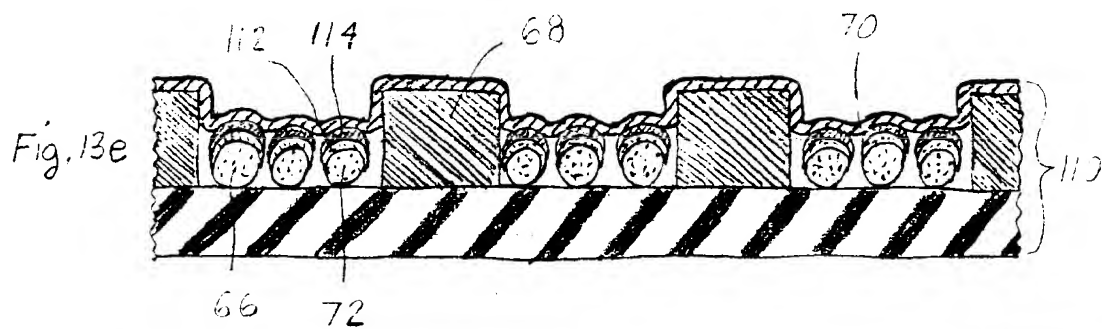
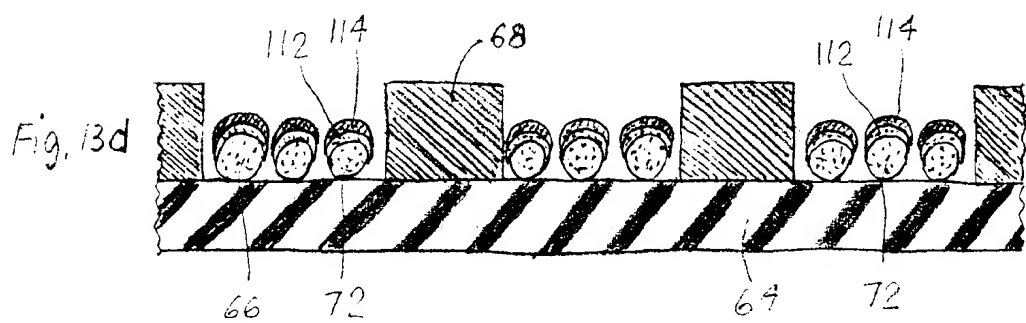
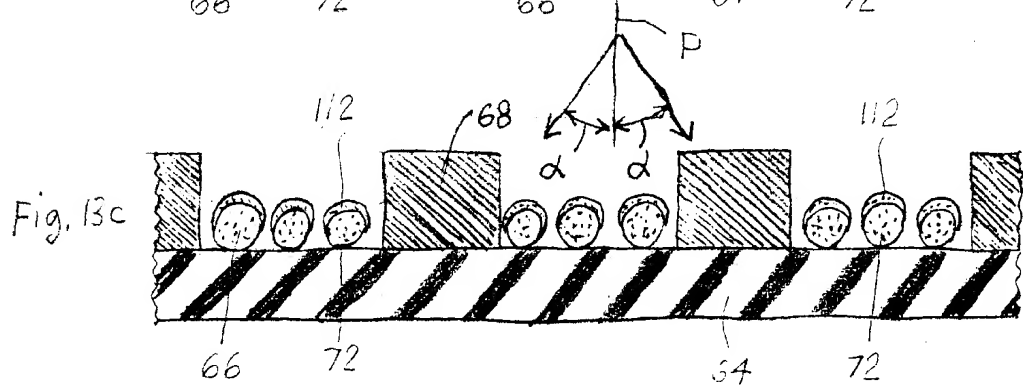
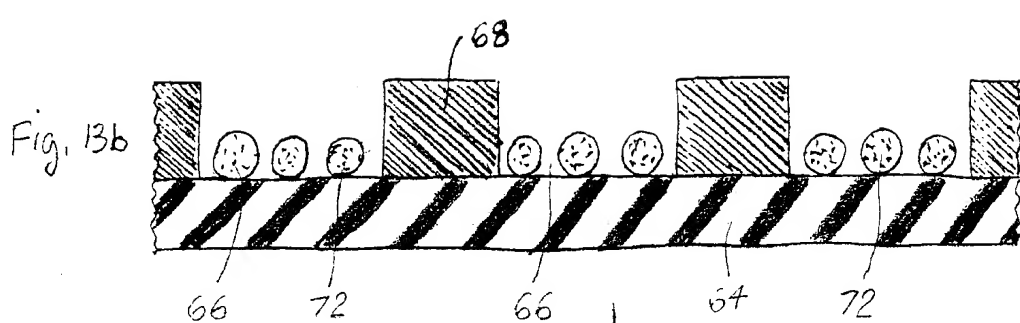
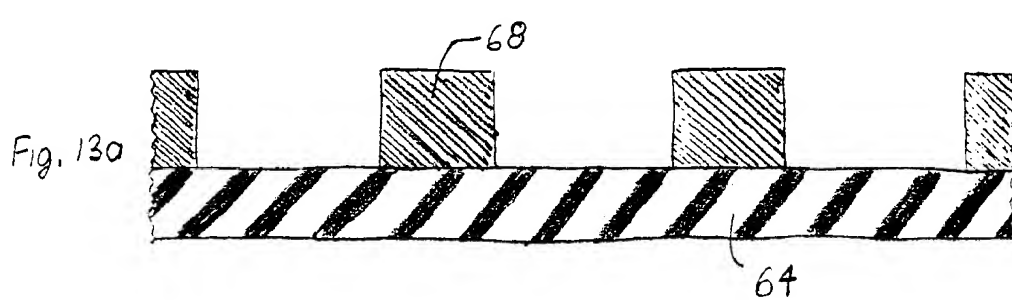
9/14

CT-F139



10/14

CT-F139



11/14

CT-F139

Fig. 14a

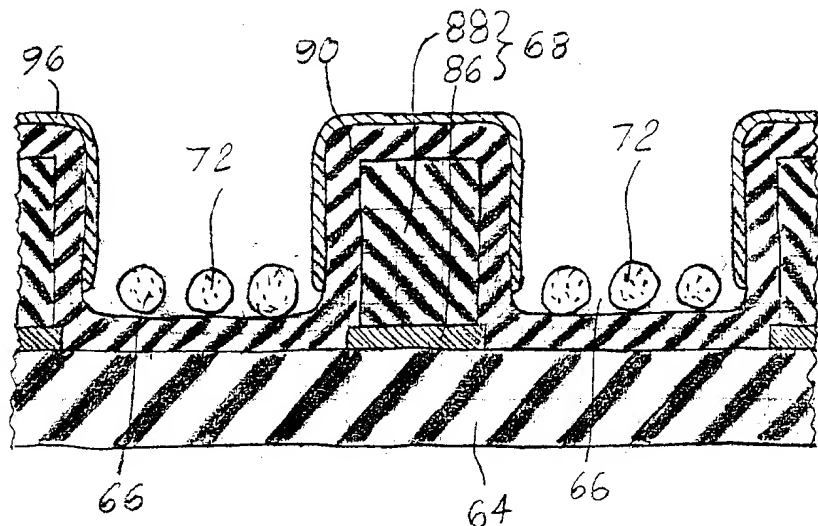


Fig. 14b

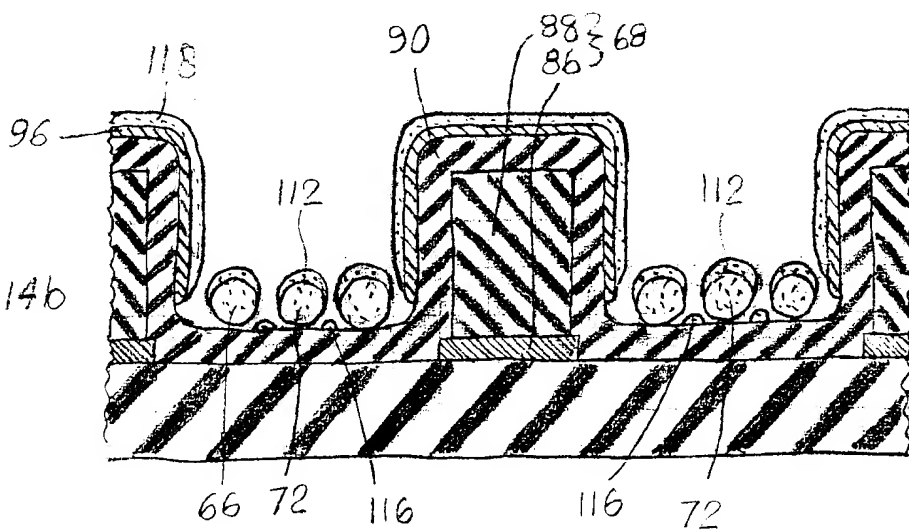


Fig. 14c

